

1. 2. Термический режим блока РЭА в перфорированном корпусе

Для снижения температур радиоэлектронного аппарата широко применяется метод перфорирования кожуха и шасси аппарата.

Обобщенную тепловую модель такой системы с незамкнутой оболочкой можно представить из нагретой зоны - 1, незамкнутой оболочки - 2, внутренней и наружной сред - 3 и 4 (рис. 1.3). Необходимо найти среднеповерхностные температуры нагретой зоны (t_3), поверхности кожуха (t_k), а также среднеобъемную температуру воздуха внутри корпуса (t_b).

Исходим из данных ТЗ и некоторых дополнительных допущений:

1. Температуру кожуха аппарата считаем изотермической, т. е. одинаковой в различных его частях.

2. Величину однородных коэффициентов теплоотдачи всех внутренних поверхностей аппарата считаем одинаковой.

Рассмотрим теплообмен, протекающий в данной системе тел.

Тепловая энергия, выделяемая нагретой зоной, передается конвекцией воздуху, омывающему нагретую зону внутри корпуса и излучением внутренним стенкам корпуса (для теплового излучения воздух прозрачен); а также излучением через отверстия в корпусе внешней среде (в расчетах учитываться не будет).

Энергия, полученная кожухом корпуса, передается конвекцией воздуху внутри корпуса, а также излучением и конвекцией в окружающую среду.

Тепловая энергия, полученная воздухом внутри корпуса при конвективном теплообмене с зоной и внутренней поверхностью корпуса, уносится потоком проходящего воздуха в окружающую среду. Движение воздуха вызвано разностью температур, а следовательно, и давлений внутри и снаружи аппарата.

Процессы теплообмена, протекающие в системе, можно изобразить в виде тепловой схемы (рис. 1.4.).

Неизвестными параметрами на схеме являются температуры t_3 , t_k , t_b и тепловой поток Q , уносимый воздухом, проходящим через аппарат.

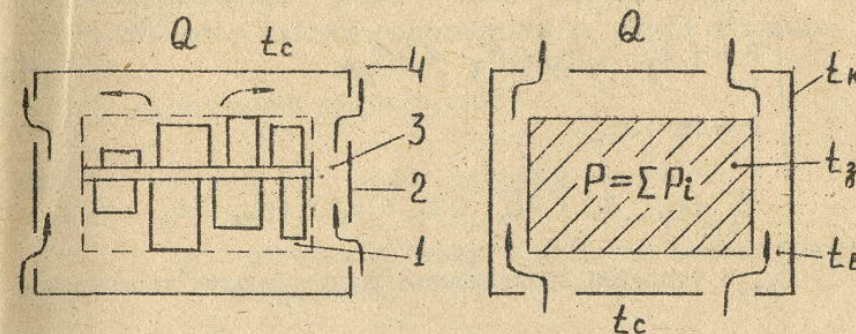


Рис. 1.3. Термическая модель блока РЭА в перфорированном корпусе.
1-нагретая зона; 2-корпус блока; 3-воздух внутри блока.

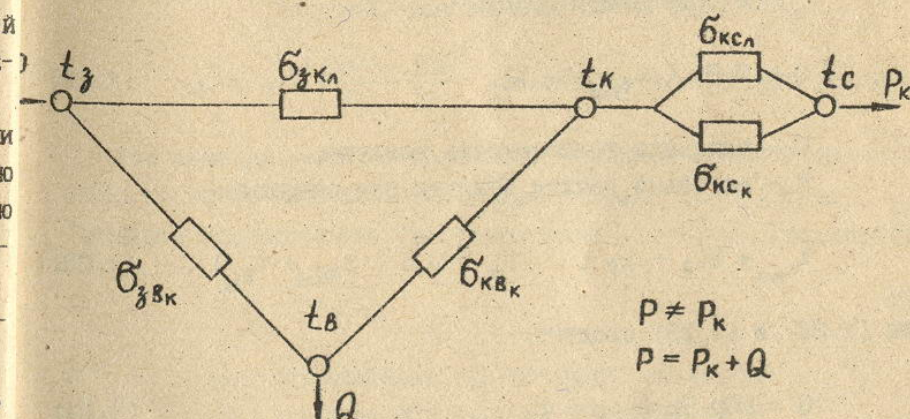


Рис. 1.4. Термическая схема теплообмена блока РЭА в перфорированном корпусе с окружающей средой.

аппарат.

Теплообмен, представленный эквивалентной схемой, описывается системой уравнений, которые представляют уравнения теплового баланса:

$$\left\{ \begin{array}{l} P = (\bar{\delta}_{\gamma} - \bar{\delta}_B) \bar{\delta}_{Bk} + (\bar{\delta}_{\gamma} - \bar{\delta}_K) \bar{\delta}_{Kk} \\ P = PK + Q \\ \bar{\delta}_{Kk} (\bar{\delta}_{\gamma} - \bar{\delta}_K) = \bar{\delta}_{Bk} (\bar{\delta}_{\gamma} - \bar{\delta}_B) + \bar{\delta}_{Kc} (\bar{\delta}_{\gamma} - \bar{\delta}_C), \end{array} \right. \quad (1.21)$$

где $\bar{\delta}_{Bk}$ - тепловая проводимость "зона - воздух" конвекцией;

$\bar{\delta}_{Kk}$ - тепловая проводимость "зона - корпус" излучением;

$\bar{\delta}_{Kc}$ - тепловая проводимость "корпус - воздух" внутри аппарата конвекцией;

$\bar{\delta}_{Kc}$ - суммарная тепловая проводимость конвекцией и излучением корпус - среды;

Q - тепловая энергия, выносимая воздухом из корпуса в окружающую среду:

$$Q = C G_m (\bar{\delta}_{B_{\text{вых}}} - \bar{\delta}_C), \quad (1.22)$$

где

C - удельная теплоемкость воздуха;

G_m - массовый расход воздуха при самоходе:

$$\bar{\delta}_{B_{\text{вых}}} = 2\bar{\delta}_B - \bar{\delta}_C; \quad \bar{\delta}_B = 0,5 (\bar{\delta}_{B_{\text{вых}}} + \bar{\delta}_{B_{\text{вх}}}). \quad (1.23)$$

Из (1.22) и (1.23) следует:

$$Q = 2Cp G_m (\bar{\delta}_B - \bar{\delta}_C). \quad (1.24)$$

Система уравнений полностью описывает процесс теплообмена в перфорированном аппарате, если задано (или известно) G_m . Если не задано и неизвестно G_m , четвертое уравнение можно составить

из условия воздухообмена, учитывая аэродинамику, т.е. разность давлений снаружи (на уровне отверстий) и внутри аппарата для самотяги.

Величина самотяги равна полному аэродинамическому сопротивлению аппарата, которое складывается из потерь давления:

$$\Delta H_C = \Delta H_{tr} + \sum \Delta H_m + \Delta H_k, \quad (1.25)$$

где $\Delta H_C = h (\rho_C - \rho_B)$ - величина самотяги;

h - расстояние между нижними и верхними отверстиями перфорации;

$$\Delta H_{tr} = \chi h_j / d_3 \frac{\rho V^2}{2} - \text{потери давления за трение};$$

χ - коэффициент сопротивления, определяется из графиков в зависимости от величины Re ;

$$\Delta H_m = \sum_{i=1}^n \xi_i \frac{\rho V^2}{2} - \text{местные потери давления};$$

ξ - коэффициент местных потерь, зависит от типа отверстий, рассчитывается по формулам;

$$\Delta H_k = \varphi \frac{\bar{\delta}_B - \bar{\delta}_C}{T_B} \frac{\rho V^2}{2} - \text{кинематические потери давления}.$$

Для решения системы уравнений теплообмена необходимо выразить тепловые проводимости $\bar{\delta}_{Bk}$, $\bar{\delta}_{Kk}$, $\bar{\delta}_{Kc}$ и $\bar{\delta}_{Kc}$.

Тепловая проводимость "нагретая зона - воздух" конвекцией:

$$\bar{\delta}_{Bk} = \alpha_K S_{\gamma}, \quad (1.26)$$

где α_K - коэффициент теплоотдачи конвекцией;

S_{γ} - площадь поверхности нагретой зоны.

Коэффициент теплоотдачи определяется из критериального уравнения в зависимости от характера движения воздуха при самотяге:

при ламинарном движении, если число Рейнольдса $Re < 2200$,

расчет можно вести по приближенной формуле

$$Nu_f = 0,13 Re_f^{1/3} Gr_f^{0.3} \varepsilon_i, \quad (1.27)$$

$Nu = \frac{\alpha_k d_3}{\lambda}$ - критерий Нусельта;

$Re_f = vd_3/\nu$ - критерий Рейнольдса;

$Gr = \beta gd_3^3/\nu^2 (t_g - t_b)$ - критерий Грасгофа;

при переходном режиме движения ($2200 < Re < 10^4$) расчет можно вести по формуле

$$Nu_f = 0,87 K, \quad (1.28)$$

где K - значение коэффициента K находят из таблиц; при турбулентном режиме движения ($Re > 10^4$) применяют формулу

$$Nu_f = 0,018 Re_f^{0.8}. \quad (1.29)$$

Площадь поверхности нагретой зоны

$$S_g = 2 [L_1 L_2 + h_g (L_1 + L_2)], \quad (1.30)$$

Тепловая проводимость "нагретая зона - корпус" излучением

$$\bar{G}_{gK} = \alpha_n S_g = \frac{C_0 \left[\left(\frac{T_g}{100} \right)^4 - \left(\frac{T_K}{100} \right)^4 \right]}{\varepsilon_g + \frac{S_g}{S'_K} \left(\frac{1}{\varepsilon_K} - 1 \right)} S_g, \quad (1.31)$$

где S'_K - площадь поверхности корпуса аппарата, участвующая в конвективном теплообмене:

$$S'_K = S_K - \sum_{i=1}^n S_{p_i},$$

где $\sum S_{p_i}$ - суммарная площадь перфорационных отверстий.

Тепловая проводимость "корпус - воздух" внутри корпуса конвекцией:

$$\bar{G}_{KB_K} = \alpha_K S'_K. \quad (1.32)$$

Тепловой поток, рассеиваемый кожухом аппарата,

$$P_K = P_{Konv} + P_{Razluch}. \quad (1.33)$$

Конвекционный поток вычисляется при помощи выражения

$$P_{Konv} = (\alpha_{Kg} S_g + \alpha_{Kb} S_b) (t_K - t_c), \quad (1.34)$$

где α_{Kg}, α_{Kb} - коэффициенты теплоотдачи с боковой и верхней поверхностью, определяются по формулам законов 1/3 или 1/4 степени в зависимости от выполнения неравенства $(t_K - t_c) \leq \left(\frac{0.84}{L}\right)^3$ - см. (1.11);

S_b и S_b - площади соответственно боковой и верхней поверхностей кожуха.

$$P_{Razluch} = \varepsilon f (t_K, t_c) (t_K - t_c) S_K, \quad (1.35)$$

где ε - степень черноты корпуса.

В этом случае площадь поверхности корпуса рассчитывается без учета площади отверстий для подвода и отвода тепла. Некоторое увеличение площади поверхности корпуса компенсирует не учтенную ранее лучистую тепловую связь зоны со средой вне аппарата через отверстия в его корпусе.

Для практических целей важно провести расчеты тепловых характеристик на основании формул (1.2)-(1.20) и (1.21)-(1.35), т.е. представить результаты в простой, наглядной и достаточно общей форме.

Расчет ТР целесообразно проводить в три этапа. На первом этапе определяются среднеповерхностные температуры шасси (платы) с расположенным на них ЭРИ, кожуха и температуры воздуха внутри РЭА.

На втором этапе определяются среднеповерхностные температуры корпусов элементов, используя результаты первого этапа.

На третьем этапе определяются максимальные температуры критических зон элементов и их функциональные связи со среднеповерхностной температурой как корпусов, так и шасси (плат).

Существует значительное число методик расчета ТР, обладающих различной точностью и трудоемкостью. Эта задача достаточно доступно и с высокой точностью может быть решена с помощью коэффициентного метода [12]. Его суть состоит в следующем.

Тепловой режим блока РЭА при естественном воздушном охлаждении зависит от многих факторов. Связь между перегревом нагретой зоны и влияющими факторами можно определить следующей формулой:

$$\theta_3 = \prod_{i=1}^n K_i$$

где θ_3 - перегрев нагретой зоны относительно температуры окружающей среды;

K_i - коэффициент, зависящий от одного из параметров (фактора), влияющего на величину θ_3 .

Величина перегрева нагретой зоны аппаратов в герметичном и перфорированном корпусах, работающих при нормальном атмосферном давлении и при отсутствии наружного обдува корпуса и внутреннего перемещения воздуха определяется, в основном, удельной мощностью нагретой зоны и коэффициентом перфорации, т.е.:

$$\theta_3 = K_{g_3} \cdot K_{\Pi}$$

где K_{g_3} - коэффициент, зависящий от удельной мощности нагретой зоны;

K_{Π} - коэффициент перфорации.

Изменение атмосферного давления снаружи и внутри корпуса аппарата учитывается с помощью коэффициентов K_{H_1} и K_{H_2} , где K_{H_1} - коэффициент, зависящий от величины атмосферного давления снаружи корпуса аппарата H_1 ; K_{H_2} - коэффициент, зависящий от величины атмосферного давления внутри корпуса аппарата H_2 .

В разделе 2 приводится упрощенная схема расчета (алгоритм) температурного поля аппаратов в герметичном и перфорированном корпусах, базирующаяся на коэффициентном методе и используемая для инженерных расчетов на первом и втором этапах.

1.3. Контрольные вопросы по разделу.

1. Какими способами передается тепловая энергия нагретых тел в окружающую среду?
2. Законы теплообмена в зависимости от способа передачи энергии.
3. Какие факторы влияют на характер конвективных потоков при естественном охлаждении?
4. Какие данные являются исходными для расчета тепловых характеристик блоков РЭА?
5. Тепловая модель герметичного и перфорированного аппаратов.
6. Как протекает теплообмен в герметичном, перфорированном аппаратах?
7. Тепловая схема теплообмена в зависимости от конструкции корпуса.
8. Как определяется конвективный коэффициент теплопередачи?
9. Как определяется тепловая проводимость в зависимости от способа передачи энергии?
10. Как определяется тепловая проводимость кожуха?
11. Как определить тепловую проводимость от нагретой зоны к кожуху - в герметичном, в перфорированном аппаратах?
12. На каких предположениях базируется инженерный расчет тепловых характеристик блоков РЭА?